

# РАСЧЕТ И КОНСТРУИРОВАНИЕ МАШИН

539.374

## ПЛАСТИЧЕСКАЯ УСТОЙЧИВОСТЬ СЕТЧАТЫХ МАТЕРИАЛОВ

Д-р техн. наук, проф. К.И. РОМАНОВ

*Сформулированы критерии устойчивости по Друкеру для сетчатых материалов, что позволяет определить условие глобальной устойчивости в процессах вытяжки армированных элементов конструкций. Дана классификация микромоделей сетчатых материалов и показано, что потеря устойчивости дискретных материалов является квантованным процессом, сопровождающимся выходом из работы отдельных волокон или отслаиванием пространственной сетки по плоскостям.*

*Drucker-Prager criterion for mesh materials allowing to define a condition of global stability in processes of reinforced elements extraction from constructions are formulated. Classification of micro models of mesh materials shows that loss of stability in discrete materials is a quantized process accompanied by the exit of separate filaments from operation or a grid peeling on planes.*

Исследование несущей способности сетчатых материалов [1—3] представляет интерес на стадии проектирования технологии получения армированных конструкций. Ниже для анализа пластической устойчивости сетчатых материалов применен постулат Друкера [4] и показано, что этот постулат дает возможность определить условие глобальной устойчивости в процессах вытяжки армированных элементов конструкций.

Сформулирован принцип равной устойчивости, открывающий путь к оптимальному проектированию сетчатых конструкций.

1. Диполь\* (рис. 1). Рассмотрим стержень, растянутый силой  $P$  и имеющий в текущий момент нагружения длину  $l$  и площадь поперечного сечения  $F$ .

Примем уравнение состояния материала в виде

$$\sigma = A\varepsilon^n, \quad (1)$$

где  $\sigma = P/F$  — действительное напряжение,  $\varepsilon = \ln(l/l_0)$  — логарифмическая деформация,  $l_0$  — начальная длина стержня,  $A$  и  $n$  — постоянные материала.

Считаем материал несжимаемым

$$F_0 l_0 = Fl, \quad (2)$$

где  $F_0$  — начальная площадь поперечного сечения стержня.

Уравнения (1) и (2) приводят к равенствам

$$P = AV_0 \varepsilon^n / l, \quad (3)$$

$$dP = AV_0 \varepsilon^{n-1} (n - \varepsilon) d\varepsilon / l, \quad (4)$$

где  $V_0$  — начальный объем стержня.

По критерию  $dP/dl = 0$  получаем известный результат [5]  $\varepsilon^* = n$ , где  $\varepsilon^*$  — предельная деформация, обусловленная наступлением пластической неустойчивости.

\* Использование терминов теории электричества не является принципиальным, однако позволяет классифицировать микромоделей сетчатых материалов.

2. Квадруполь (рис. 2). В системе координат  $x, y$  все величины с индексами  $x$  и  $y$  имеют такой же смысл, как в случае диполя, направленного вдоль осей  $x$  и  $y$ , соответственно. В соответствии с постулатом Друкера глобальная неустойчивость [6] наступит при выполнении условия

$$dP_x du_x + dP_y du_y = 0, \quad (5)$$

где  $du_i = dl_i = l_i d\varepsilon_i$ ,  $i = x, y$ , суммирование по  $i$  не производить.

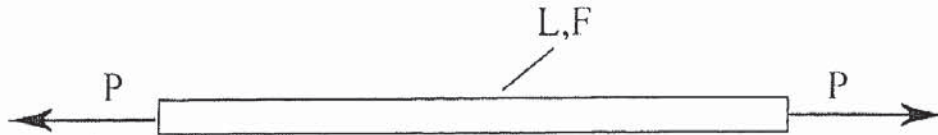


Рис. 1

Y ▲

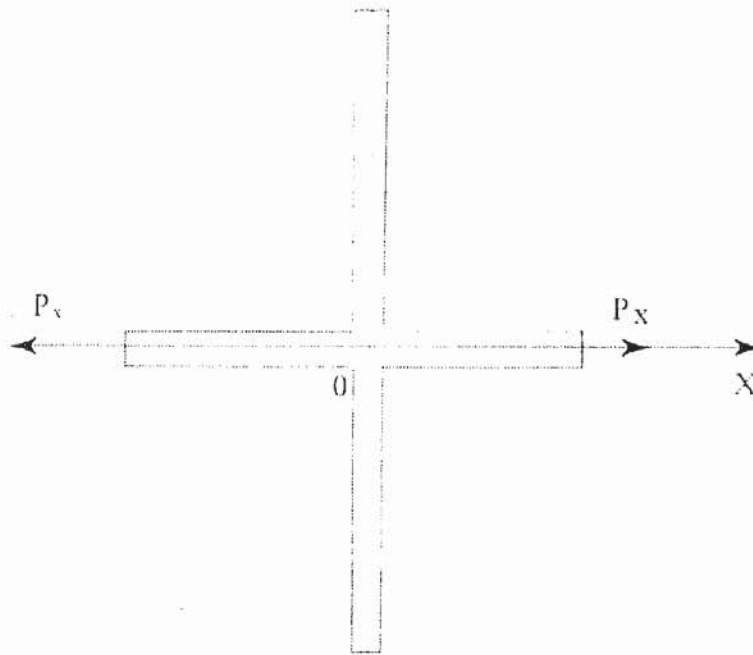
P<sub>y</sub> ▲P<sub>y</sub> ▼

Рис. 2

Соотношения (4) и (5) приводят к равенству

$$A_x V_{ox} \varepsilon_x^{n_x-1} (n_x - \varepsilon_x) d\varepsilon_x^2 + A_y V_{oy} \varepsilon_y^{n_y-1} (n_y - \varepsilon_y) d\varepsilon_y^2 = 0. \quad (6)$$

Выполнение равенств  $\varepsilon_x = n_x$  или  $\varepsilon_y = n_y$  означает появление локальной неустойчивости отдельных элементов. При одновременном  $\varepsilon_x^* = n_x$  и  $\varepsilon_y^* = n_y$  имеет место глобальная неустойчивость системы.

Условие (6) выполняется в конкретной точке траектории нагружения в пространстве деформаций. Связь  $d\varepsilon_x$  и  $d\varepsilon_y$  в процессе нагружения зависит от истории внешнего воздействия. При заданной функции  $l_x(l_y)$  происходит кинематическое (жесткое) нагружение. Когда задается программа изменения  $P_x$  в зависимости от  $P_y$ , нагружение является силовым (мягким).

Пусть, например, история нагружения задается в пространстве сил (рис. 3). Установим связь  $d\varepsilon_x$  и  $d\varepsilon_y$  с параметром нагружения  $\alpha$  в соотношении  $P_y = \alpha P_x$ .

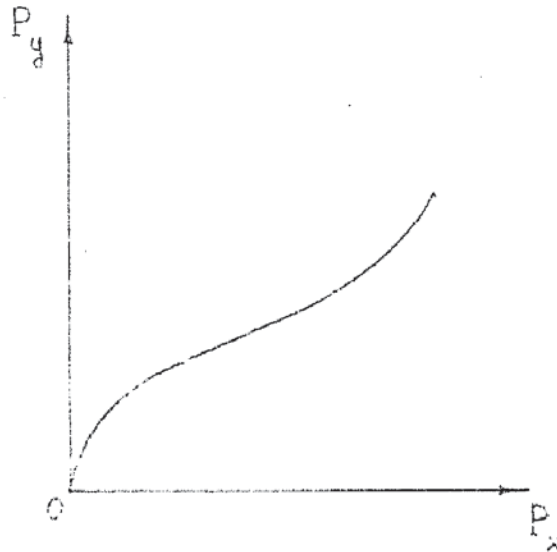


Рис. 3

На основании формулы (3)

$$\alpha = A_y V_{oy} \varepsilon_y^{n_y} l_x / (A_x V_{ox} \varepsilon_x^{n_x} l_y). \tag{7}$$

Кроме того,  $l_i = l_{oi} \exp \varepsilon_i$ . Поэтому (7) приводится к виду

$$\frac{\alpha \varepsilon_x^{n_x}}{\exp \varepsilon_x} = \frac{A_y F_{oy} \varepsilon_y^{n_y}}{A_x F_{ox} \exp \varepsilon_y},$$

откуда получаем искомое соотношение

$$\frac{\varepsilon_x^{n_x}}{\exp \varepsilon_x} \left( \frac{d\alpha}{d\varepsilon_x} + \alpha \frac{n_x - \varepsilon_x}{\varepsilon_x} \right) d\varepsilon_x = \frac{A_y F_{oy} \varepsilon_y^{n_y-1} (n_y - \varepsilon_y)}{A_x F_{ox} \exp \varepsilon_y} d\varepsilon_y.$$

В частном случае простого нагружения ( $\alpha = \text{const}$ )

$$\frac{\alpha \varepsilon_x^{n_x-1} (n_x - \varepsilon_x) d\varepsilon_x}{\exp \varepsilon_x} = \frac{A_y F_{oy} \varepsilon_y^{n_y-1} (n_y - \varepsilon_y) d\varepsilon_y}{A_x F_{ox} \exp \varepsilon_y}.$$

Подстановка  $d\varepsilon_x$  из этого соотношения в (6) приводит к условию глобальной неустойчивости квадруполя с учетом программы нагружения

$$\frac{(\exp \varepsilon_y)^2 \varepsilon_x^{n_x-1} (n_x - \varepsilon_x)}{(\exp \varepsilon_x)^2 \varepsilon_y^{n_y-1} (n_y - \varepsilon_y)} + \frac{A_y F_{oy} l_{ox}}{\alpha^2 A_x F_{ox} l_{oy}} = 0.$$

При обращении в нуль одной из двух разностей  $n_x - \varepsilon_x$  или  $n_y - \varepsilon_y$  происходит потеря устойчивости деформирования одного из двух элементов квадруполь. В свою очередь образующаяся в этот момент шейка приводит, вследствие нарушения однородности напряженно-деформированного состояния, через короткий промежуток деформирования к локальному разрушению. Таким образом, естественно взять за основу идущее в запас прочности предположение о том, что при  $\varepsilon_x^* = n_x$  или  $\varepsilon_y^* = n_y$  выходит из работы один из двух элементов квадруполь. Физически сказанное означает, что в энергетическом смысле система способна к догружению за счет несущей способности одного из двух оставшихся элементов, однако квадруполь продолжает воспринимать внешнее воздействие как диполь.

Представляет интерес изучение квадруполь при силах различных направлений (на рис. 2  $P_y$  — сжимающая сила,  $P_y > 0$ ). Здесь условие потери устойчивости пластического деформирования имеет вид  $\alpha = \text{const}$

$$\frac{\exp(\varepsilon_y)^2 \varepsilon_x^{n_x-1} (n_x - \varepsilon_x)}{\exp(\varepsilon_x)^2 (-\varepsilon_y)^{n_y-1} (n_y - \varepsilon_y)} + \frac{A_y F_{oy} l_{ox}}{\alpha^2 A_x F_{ox} l_{oy}} = 0.$$

В данном случае из-за  $\varepsilon_y < 0$  глобальная неустойчивость невозможна, возможна только локальная неустойчивость при  $\varepsilon_x^* = n_x$ .

Состояние с  $\alpha = 1$  можно назвать «чистым сдвигом». При «чистом сдвиге» одинаковы по величине и различны по направлению силы, а не напряжения как при чистом сдвиге в сопротивлении материалов.

В случае квадруполь, оба элемента которого работают на сжатие (на рис. 2  $P_x$  и  $P_y$  — сжимающие силы,  $P_x > 0$  и  $P_y > 0$ ) условие неустойчивости имеет вид ( $\alpha = \text{const}$ )

$$\frac{\exp(\varepsilon_y)^2 (-\varepsilon_x)^{n_x-1} (\varepsilon_x - n_x)}{\exp(\varepsilon_x)^2 (-\varepsilon_y)^{n_y-1} (\varepsilon_y - n_y)} + \frac{A_y F_{oy} l_{ox}}{\alpha^2 A_x F_{ox} l_{oy}} = 0.$$

Поскольку здесь  $\varepsilon_x < 0$  и  $\varepsilon_y < 0$ , то потеря пластической устойчивости материала невозможна.

Аналогом случая  $\alpha = 1$  при сжимающих силах  $P_x$  и  $P_y$  в континуальной модели является равномерное двухосное сжатие, когда материал также всегда устойчив [7].

3. Пространственная система диполей (рис. 4). Критерий устойчивости ( $i = x, y, z$ )  $\sum dP_i du_i = 0$  может быть представлен в форме

$$A_x V_{ox} \varepsilon_x^{n_x-1} (n_x - \varepsilon_x) d\varepsilon_x^2 + A_y V_{oy} \varepsilon_y^{n_y-1} (n_y - \varepsilon_y) d\varepsilon_y^2 + A_z V_{oz} \varepsilon_z^{n_z-1} (n_z - \varepsilon_z) d\varepsilon_z^2 = 0. \quad (8)$$

История нагружения в пространстве сил задается двумя параметрами  $\alpha = P_y / P_x$  и  $\beta = P_z / P_x$ . Равенства

$$\frac{\alpha \varepsilon_x^{n_x}}{\exp \varepsilon_x} = \frac{A_y F_{oy} \varepsilon_y^{n_y}}{A_x F_{ox} \exp \varepsilon_y}, \quad \frac{\beta \varepsilon_x^{n_x}}{\exp \varepsilon_x} = \frac{A_z F_{oz} \varepsilon_z^{n_z}}{A_x F_{ox} \exp \varepsilon_z}$$

приводят в частном случае простого нагружения к выражениям для производных

$$\frac{d\varepsilon_y}{d\varepsilon_x} = \frac{\alpha A_x F_{ox} \varepsilon_x^{n_x-1} (n_x - \varepsilon_x) \exp \varepsilon_y}{A_y F_{oy} \varepsilon_y^{n_y-1} (n_y - \varepsilon_y) \exp \varepsilon_x},$$

$$\frac{d\varepsilon_z}{d\varepsilon_x} = \frac{\beta A_x F_{ox} \varepsilon_x^{n_x-1} (n_x - \varepsilon_x) \exp \varepsilon_x}{A_z F_{oz} \varepsilon_z^{n_z-1} (n_z - \varepsilon_z) \exp \varepsilon_z}$$

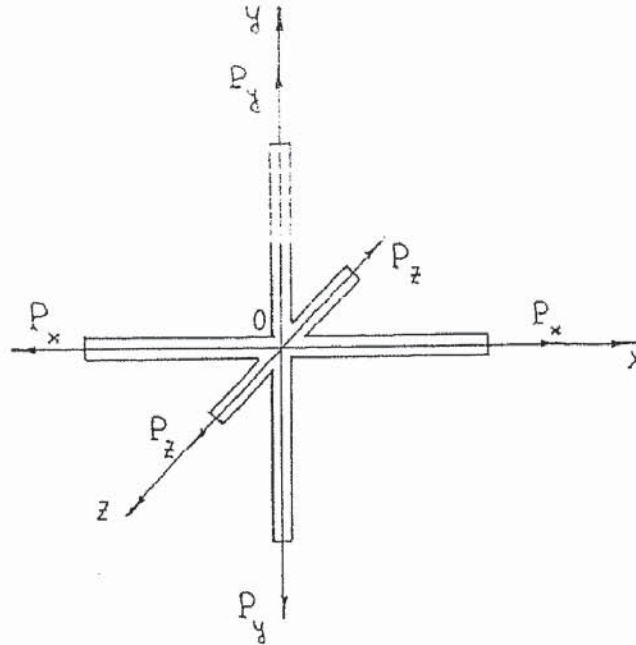


Рис. 4

В случае пространственной системы диполей так же, как и для квадруполья, следует различать понятия локальной и глобальной неустойчивости. Например, для пространственной системы условием глобальной неустойчивости является (8), а локальная неустойчивость реализуется в момент исчерпания несущей способности каждого из трех элементов при выполнении любого из трех равенств  $\varepsilon_x^* = n_x$ ,  $\varepsilon_y^* = n_y$ ,  $\varepsilon_z^* = n_z$ .

4. Однонаправленный материал. Однонаправленный материал, нагружаемый вдоль волокон, в частном случае двухэлементной модели изображен сверху на рис. 5. Условие глобальной неустойчивости  $dP = 0$  имеет вид

$$\sum A_i F_{oi} \varepsilon^{n_i} (n_i - \varepsilon) = 0, \tag{9}$$

где  $\varepsilon = \ln(l/l_0)$  — деформация ансамбля волокон, одинаковая по всем волокнам;  $i$  — номер волокна.

Достижение равенства  $\varepsilon^* = n_{inf}$  означает выход из работы слабого звена. Затем, по мере увеличения деформации, волокна теряют последовательно устойчивость вплоть до достижения равенства  $\varepsilon^* = n_{sup}$ , когда в момент  $dP = 0$  наступает глобальная неустойчивость всей системы волокон.

Таким образом, если растягиваемый сплошной образец рассматривать на макроуровне как пучок продольных волокон, то шейкообразование оказывается процессом локализации, начинающимся в точке материала, где  $n_i = n_{inf}$ . Положение указанной точки определяется статистической неоднородностью свойств материала. Заметим, что разброс коэффициентов  $A_i$  в уравнении состояния (1) не оказывает влияния на величины  $\varepsilon_{inf}^*$  и  $\varepsilon_{sup}^*$ .

Сила, удерживаемая системой волокон, определяется по формуле

$$P = \frac{l_0}{l} \sum A_i F_{oi} \varepsilon^{n_i}$$

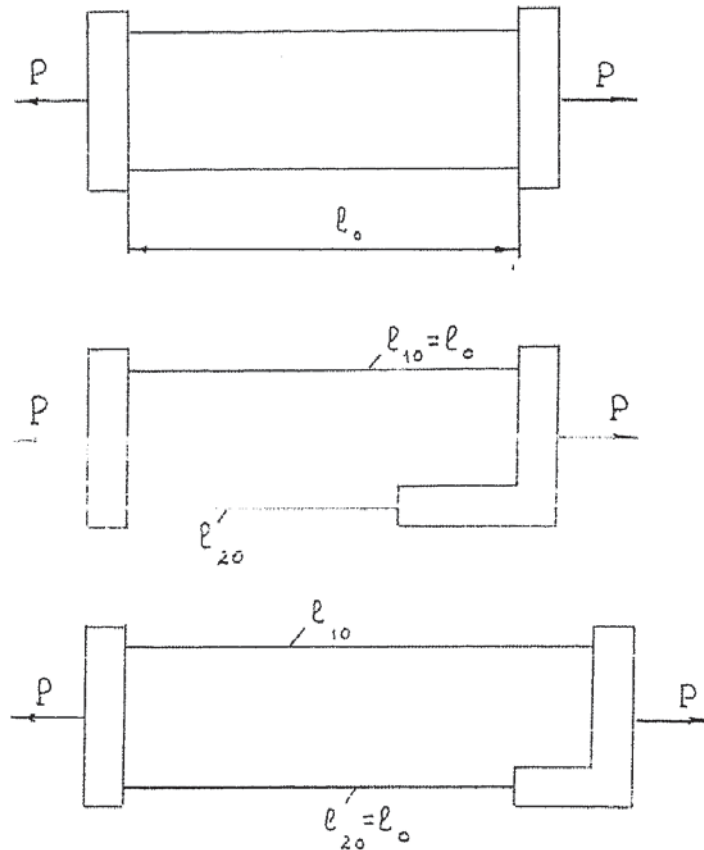


Рис. 5

Среднее напряжение в поперечном сечении однонаправленной модели

$$\langle \sigma \rangle = \frac{1}{\sum F_{oi}} \sum A_i F_{oi} \varepsilon^{n_i}.$$

Формула

$$\frac{1}{\sum F_{oi}} \sum A_i F_{oi} \varepsilon^{n_i} = A \varepsilon^n, \quad (10)$$

дает возможность определить постоянные континуальной модели материала.

Примерами многослойных композиций являются биметаллы, для которых формулы (9) и (10) позволяют объяснить экспериментальные данные [8].

Например, в случае двухэлементной модели при  $F_{10} = F_{20} = F_0$ ;  $A_1 = A_2 = A_0$ ;  $n_1 = 0,2$ ;  $n_2 = 0,6$  оказывается  $\varepsilon^* = 0,36$ . На рис. 6 при указанных параметрах кривая 1 представляет собой характеристику волокна с  $n_2$ , кривая 2 — аналогичная характеристика волокна с  $n_1$ , а кривая 3 построена для системы двух волокон (верхняя схема на рис. 5).

При анализе работы системы волокон необходимо учитывать, что характеристика 3 отражает реальную картину только до  $\varepsilon^* = n_{\text{inf}} = n_1$ , т.е. до момента потери локальной устойчивости волокна с наименьшей пластичностью. В указанный момент в соответствии с предложенной в п. 2 схемой волокно с  $n_1$  выходит из работы.

В результате усилие, выдерживаемое всей системой, падает до значения, которое в состоянии выдержать работоспособное волокно при данном уровне деформации  $\varepsilon^* = 0,2$ . Процесс деформирования сетки, в частности, двухэлементной модели, оказывается скачкообразным, квантованным и развивается по схеме, изображенной на рис. 7. Естественно-

но, что реализация прерывистой диаграммы деформирования сетки возможна только в условиях жесткого нагружения.

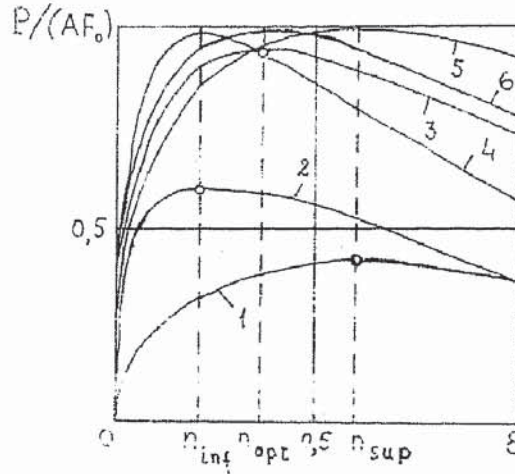


Рис. 6

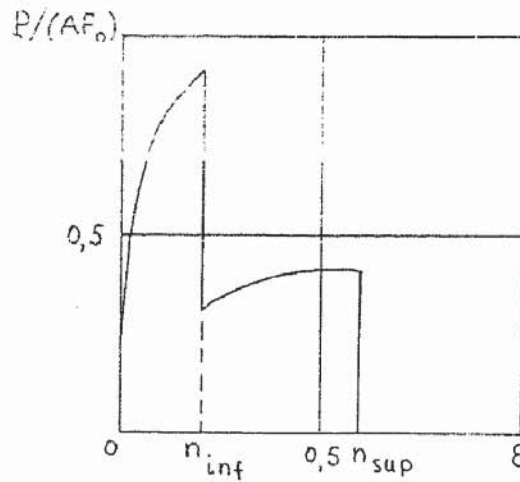


Рис. 7

Невозможность достижения в реальном процессе теоретической пластичности, в рассматриваемом примере  $\varepsilon^* = 0,36$ , приводит к постановке задачи оптимизации в механике сетчатых материалов.

Именно при проектировании формоизменения сетчатых материалов целесообразно исходить из принципа равной устойчивости, который может быть сформулирован следующим образом: реализация пластичности сетчатого материала возможна в наилучшей степени при сочетании параметров, соответствующем одновременному наступлению локальной и глобальной неустойчивости.

Например, в случае  $n_1 = n_2 = n$  локальная и глобальная неустойчивости реализуются одновременно. В этом смысле одноосное растяжение сплошного стержня вплоть до образования шейки при  $n = \text{const}$  по всему объему материала удовлетворяет требованию равной устойчивости.

В сетчатом материале при различных  $n_i$  обеспечение принципа равной устойчивости может достигаться за счет выбора соответствующих исходных размеров волокон.

Например, в случае двухэлементной модели (рис. 5) можно рассмотреть несколько проектов создания системы волокон.

**Пример 1.** Предположим, что в условиях предыдущей задачи длина одного волокна отличается от длины другого. Именно у волокна с  $n_1 = 0,2$   $l_{10} = l_0$ , а у волокна с  $n_2 = 0,6$   $l_{20} < l_0$  (средняя расчетная схема на рис. 5). Условие глобальной устойчивости такой системы имеет вид

$$\frac{F_{10}l_{10}}{l_1} A_1 \varepsilon_1^{n_1-1} (n_1 - \varepsilon_1) d\varepsilon_1 + \frac{F_{20}l_{20}}{l_2} A_2 \varepsilon_2^{n_2-1} (n_2 - \varepsilon_2) d\varepsilon_2 = 0.$$

При  $A_1 = A_2 = A_0$ ,  $F_{10} = F_{20} = F_0$  сила, удерживаемая системой определяется по формуле

$$P/(AF_0) = \varepsilon_1^{n_1} / \exp(\varepsilon_1 + \varepsilon_2^{n_2}) / \exp \varepsilon_2.$$

Деформация второго волокна дается соотношением

$$\varepsilon_2 = \ln \left( \frac{l_0 \exp \varepsilon}{l_{20}} + 1 - \frac{l_0}{l_{20}} \right).$$

Выберем начальную длину второго волокна на основе принципа равной устойчивости, т.е. положим  $\varepsilon_1^* = n_1$  и  $\varepsilon_2^* = n_2$ . Тогда получим  $l_{20}/l_0 = (\exp n_1 - 1)/(\exp n_2 - 1) = 0,269$ .

На рис. 6 показан график (кривая 4) зависимости силы от деформации  $\varepsilon_1 = \varepsilon = \ln(l/l_0)$ , имеющий экстремум в точке  $\varepsilon^* = n_{inf}$ .

Вывод, который можно сделать по этому примеру, сводится к следующему. За счет уменьшения длины второго волокна сила, удерживаемая системой волокон, увеличилась на 10%, выигрыш в массе составил 37% при пластичности  $\varepsilon^* = n_{inf} = 0,2$ . Заметим, что в пластичности по средней схеме на рис. 5 по сравнению с верхней схемой потеря отсутствует, так как по верхней схеме при этом же значении  $\varepsilon^*$  происходит локальная потеря устойчивости одного из волокон, нарушающая работоспособность всей системы.

**Пример 2.** Оставим теперь исходную длину второго волокна равной  $l_0$  (нижняя схема на рис. 5), а начальную длину первого волокна выберем с помощью принципа равной устойчивости. При этом оказывается  $l_{10} = l_0(\exp n_2 - 1)/(\exp n_1 - 1) = 3,72l_0$ , выигрыш в массе по сравнению с верхней схемой на рис. 5 составляет 136%. Сила (кривая 5 на рис. 6) увеличилась так же, как и в предыдущем примере, на 10%, пластичность всей системы увеличилась до  $\varepsilon^* = n_{sup} = 0,6$ . Таким образом, можно сделать вывод о том, что увеличение ресурса пластичности сетчатых материалов возможно за счет изменения длин волокон, но сопряжено со значительными затратами материала.

**Пример 3.** Подстроим теперь систему волокон по принципу равной устойчивости под выполнение равенств  $\varepsilon_1^* = n_1$ ;  $\varepsilon_2^* = n_2$ ;  $\varepsilon^* = n_{opt}$ , где

$$\varepsilon_1 = \ln \left[ \frac{l_0 \exp(\varepsilon - 1)}{l_{10}} + 1 \right]$$

$$\varepsilon_2 = \ln \left[ \frac{l_0 \exp(\varepsilon - 1)}{l_{20}} + 1 \right]$$

$n_{opt} = 0,36$  — значение деформации, являющееся оптимальным в том смысле, что при этом значении схема, изображенная сверху на рис. 5, теряет глобальную устойчивость.



Оказывается, что при значениях  $l_{10}/l_0 = \exp(n_{\text{opt}} - 1)/\exp(n_1 - 1) = 1,96$ ;  $l_{20}/l_0 = \exp(n_{\text{opt}} - 1)/\exp(n_2 - 1) = 0,527$  потеря в массе по сравнению с верхней расчетной схемой на рис. 5 составила 25%, сила (кривая б на рис. 6) снова увеличилась на 10%, но пластичность системы стала оптимальной в указанном выше смысле.

4. Ортогональный материал. Рассмотрим плоскую ортогональную сетку, нагружаемую растягивающими силами  $P_x$  и  $P_y$ , вдоль волокон длиной  $l_x$  и  $l_y$ , соответственно.

Здесь

$$P_x = \frac{1}{l_x} \sum A_{ix} V_{oix} \varepsilon_x^{n_x}; \quad P_y = \frac{1}{l_y} \sum A_{iy} V_{oiy} \varepsilon_y^{n_y}; \quad du_x = l_x d\varepsilon_x; \quad du_y = l_y d\varepsilon_y$$

и критерий устойчивости имеет вид

$$d\varepsilon_x^2 \sum A_{ix} V_{oix} \varepsilon_x^{n_x-1} (n_x - \varepsilon_x) + d\varepsilon_y^2 \sum A_{iy} V_{oiy} \varepsilon_y^{n_y-1} (n_y - \varepsilon_y) = 0. \quad (11)$$

При  $\varepsilon_x^* = n_x^{\text{inf}}$  начинается выход из строя одного из волокон, ориентированных вдоль оси  $x$ . Аналогично равенство  $\varepsilon_y^* = n_y^{\text{inf}}$  означает слабое звено в системе волокон, направленных вдоль  $y$ . При  $\varepsilon_x^* = n_x^{\text{sup}}$  все волокна, направленные вдоль оси  $x$ , теряют устойчивость. Аналогично условие  $\varepsilon_y^* = n_y^{\text{sup}}$  означает выход из работы всех волокон, ориентированных вдоль оси  $y$ .

Обобщение проведенного рассмотрения плоской сетки на трехмерный случай приводит к условию глобальной неустойчивости

$$d\varepsilon_x^2 \sum A_{ix} V_{oix} \varepsilon_x^{n_x-1} (n_x - \varepsilon_x) + d\varepsilon_y^2 \sum A_{iy} V_{oiy} \varepsilon_y^{n_y-1} (n_y - \varepsilon_y) + d\varepsilon_z^2 \sum A_{iz} V_{oiz} \varepsilon_z^{n_z-1} (n_z - \varepsilon_z) = 0. \quad (12)$$

Особенностью работы пространственной системы является возможность, в зависимости от распределения  $n_x, n_y, n_z$ , разрыва волокон по плоскостям. В результате отслаивания материала по плоскостям, что характерно для конструктивно анизотропных сред, пространственная сетка может последовательно превратиться в плоскую, а затем в однонаправленную систему волокон.

Величина левой части критериев (11) и (12) в произвольный момент нагружения может служить мерой запаса устойчивости материала по Друкеру, а значения коэффициентов  $n_i$  можно рассматривать как квантовые уровни деформаций, определяющие несущую способность материала.

5. Несущая способность армированного материала. На рис. 8 показана расчетная схема листа, армированного волокнами в двух взаимно перпендикулярных направлениях.

При равномерном распределении сил  $P_x$  и  $P_y$  вдоль кромок листа напряженное и деформированное состояние является однородным. В условиях двухстороннего приложения сил задача устойчивости волокна в матрице осложняется из-за неодносного напряженного состояния, обусловленного поперечными напряжениями.

В дальнейшем будем приближенно считать, что волокна находятся в одноосном НС. Такое предположение оправдано при соизмеримых между собой силах  $P_x$  и  $P_y$ , вследствие значительного превышения площади боковой поверхности волокна по сравнению с площадью его поперечного сечения.

Условие глобальной неустойчивости рассмотрим по критерию (5), где  $P_x = \sigma_{mx} F_{mx} + \sigma_{fx} F_{fx}$ ;  $P_y = \sigma_{my} F_{my} + \sigma_{fy} F_{fy}$ ;  $\sigma_{mx}$  и  $\sigma_{fx}$ ,  $\sigma_{my}$  и  $\sigma_{fy}$  — напряжения в матрице и волокне в направлениях осей  $x$  и  $y$  соответственно;  $F_{mx}$  и  $F_{fx}$ ,  $F_{my}$  и  $F_{fy}$  — площади поперечных сечений матрицы и волокна, ортогональные к осям  $x$  и  $y$ , соответственно.

Указанное условие с учетом несжимаемости материала может быть представлено в форме

$$V_{mo} (d\sigma_{mx}d\varepsilon_x + d\sigma_{my}d\varepsilon_y - \sigma_{mx}d\varepsilon_x^2 - \sigma_{my}d\varepsilon_y^2) + V_{fo} (d\sigma_{fx}d\varepsilon_x + d\sigma_{fy}d\varepsilon_y - \sigma_{fx}d\varepsilon_x^2 - \sigma_{fy}d\varepsilon_y^2) = 0, \quad (13)$$

где  $V_{mo} = F_{mxo}l_{xo} = F_{myo}l_{yo}$  — объем матрицы;  $V_{fo} = F_{fxo}l_{xo} = F_{fyo}l_{yo}$  — объем волокон, принимаемый без нарушения общности одинаковым в направлениях  $x$  и  $y$ .

Заметим, что в соотношении (13) первое слагаемое представляет собой вклад от матрицы [9], а второе — от волокна. Конфигурация критерия (13) соответствует схеме параллельного соединения элементов армированного материала, т. е. в рассматриваемом варианте несущая способность изучается по схеме тела Фойхта, когда деформации  $\varepsilon_x$  и  $\varepsilon_y$  принимаются одинаковыми для волокна и матрицы в направлениях осей  $x$  и  $y$ , соответственно.

Примем уравнение состояния матрицы в виде [5]

$$\sigma_e = A \left( \int \tilde{d}\varepsilon_e \right)^n, \quad (14)$$

где  $\sigma_e$  — эквивалентное напряжение,  $\tilde{d}\varepsilon_e$  — эквивалентное приращение деформаций.

По уравнениям (13) и (14) получаем

$$V_{mo} \left[ d\sigma_e \tilde{d}\varepsilon_e - \sigma_e \tilde{d}\varepsilon_e^2 \frac{4\alpha^3 - 3\alpha^2 - 3\alpha + 4}{4(1 - \alpha + \alpha^2)^{3/2}} \right] + V_{fo} \left[ A_{fx} \varepsilon_x^{n_{fx}-1} (n_{fx} - \varepsilon_x) d\varepsilon_x^2 + A_{fy} \varepsilon_y^{n_{fy}-1} (n_{fy} - \varepsilon_y) d\varepsilon_y^2 \right] = 0, \quad (15)$$

где  $\alpha = \sigma_{my} / \sigma_{mx}$  — коэффициент, характеризующий отношение напряжений в континуальной части.

Связь между деформациями при параллельном соединении волокна и матрицы может быть определена напряжениями в континуальной части армированного материала [9]

$$\begin{cases} d\varepsilon_x = \frac{(2 - \alpha) \tilde{d}\varepsilon_e}{2\sqrt{1 - \alpha + \alpha^2}} \\ d\varepsilon_y = \frac{(2\alpha - 1) \tilde{d}\varepsilon_e}{2\sqrt{1 - \alpha + \alpha^2}} \end{cases} \quad (16)$$

Поэтому условие (15) преобразуется к виду

$$V_{mo} \left[ An \left( \int \tilde{d}\varepsilon_e \right)^{n-1} - A \left( \int \tilde{d}\varepsilon_e \right)^n \frac{4\alpha^3 - 3\alpha^2 - 3\alpha + 4}{4(1 - \alpha + \alpha^2)^{3/2}} \right] + V_{fo} \left[ A_{fx} \varepsilon_x^{n_{fx}-1} (n_{fx} - \varepsilon_x) \frac{(2 - \alpha)^2}{4(1 - \alpha + \alpha^2)} + A_{fy} \varepsilon_y^{n_{fy}-1} (n_{fy} - \varepsilon_y) \frac{(2\alpha - 1)^2}{4(1 - \alpha + \alpha^2)} \right] = 0, \quad (17)$$

где

$$\begin{cases} \varepsilon_x = \ln(l_x / l_{xo}) \\ \varepsilon_y = \ln(l_y / l_{yo}) \end{cases} \quad (18)$$

Соотношения (16) и (18) приводят к равенствам

$$\frac{l_x dl_y}{l_y dl_x} = \frac{2\alpha - 1}{2 - \alpha}, \quad (19)$$

$$\Gamma = \int \tilde{d}\epsilon_e = \int_{l_{\infty}}^{l_x} \frac{2\sqrt{1-\alpha+\alpha^2}}{2-\alpha} \frac{dl_x}{l_x}$$

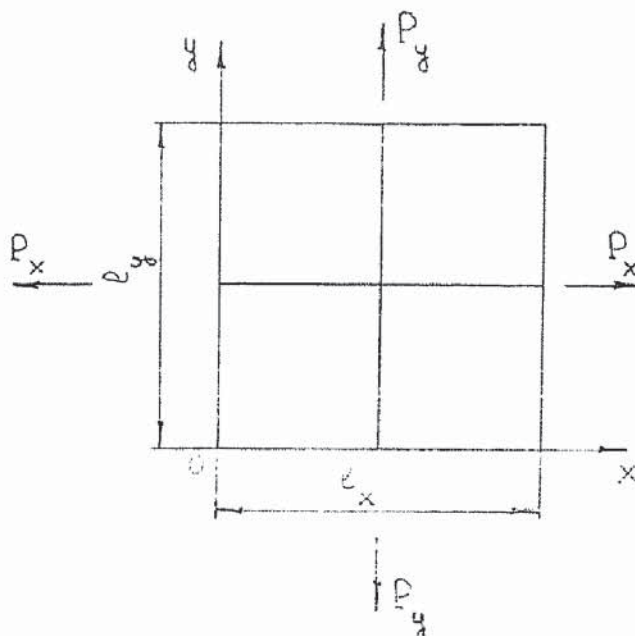


Рис. 8

Следовательно, для того, чтобы найти по критерию (17)  $\Gamma_*$  — критическое значение параметра Одквиста, необходимо знать три величины  $l_x, l_y$  и  $\alpha$ , определяемые, в свою очередь, историей нагружения.

При наличии связи (19) два других дополнительных условия могут быть получены различными путями в зависимости от способа нагружения. При мягком способе нагружения два необходимых соотношения задаются уравнениями равновесия в направлениях осей  $x$  и  $y$ , соответственно. При жестком нагружении задаются скорости  $v_x = dl_x/dt$  и  $v_y = dl_y/dt$ , где  $t$  — параметр нагружения.

Кроме критерия глобальной неустойчивости (17), границы несущей способности армированного материала определяются по критериям локальной неустойчивости матрицы: первое слагаемое в (17) — и глобальной неустойчивости сетчатого каркаса: второе слагаемое в (17), а также по критериям локальной неустойчивости волокон, сформулированным выше.

#### СПИСОК ЛИТЕРАТУРЫ

1. Бунаков В. А., Протасов В. Д. Сетчатые композитные конструкции // *Механика и научно-технический прогресс*. Т. 4. Приложение механики к задачам технологии. — М.: Наука, 1988. — С. 273—286.
2. Ргагер W. Introduction to structural optimization. Udine: Springer - Verlag Wien - N. Y. — 1974. Прагер В. Основы теории оптимального проектирования конструкций. — М.: Мир, 1977. — 109 с.
3. Усюкин В. И. Строительная механика конструкций космической техники. — М.: Машиностроение, 1988. — 390 с.
4. Друкер D. C. On the postulate of stability of material in the mechanics of continua // Докл. на 2-м Всесоюз. съезде по теорет. и прикл. механике. — М., 29 января — 5 февраля 1964. = Друкер Д. О постулате устойчивости материала в механике сплошной среды // *Механика. Период. сб. переводов иностр. статей*. 1964. — № 3. — С. 115—128.
5. Малинин Н. Н. Прикладная теория пластичности и ползучести. — М.: Машиностроение, 1975. — 398 с.
6. Романов К. И. К вопросу об исследовании устойчивости двухосного пластического растяжения // *Известия вузов. Машиностроение*. — 1979. — № 10. — С. 18—20.
7. Романов К. И. Устойчивость материала по Друкеру // *ПММ*. — 2001. — Т. 65. — Вып. 1. — С. 157—164.
8. Томенко Ю. С., Навроцкий И. В., Долженков Ф. Е. Деформация многослойных сталей при статическом растяжении // *Известия АН СССР. Металлы*. — 1970. — № 3. — С. 119—125.
9. Дель Г. Д. Технологическая механика. — М.: Машиностроение, 1978. — 174 с.